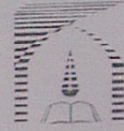


بِسْمِ اللّٰهِ الرَّحْمٰنِ الرَّحِيْمِ



سنه تعالی

تاییدیه اعضای هیات داوران حاضر در جلسه دفاع از پایان نامه

آقای احمد کنار پایان نامه ۶ واحدی خود را با عنوان بررسی خوردگی تنشی فولاد خط لوله در محیط کربنات بی کربنات با PH خنثی با تکنیک نویز الکتروشیمیایی در تاریخ ۱۳۹۱/۸/۲۲ ارائه کردند.

اعضای هیات داوران نسخه نهایی این پایان نامه را از نظر فرم و محتوا تایید کرده و پذیرش آنرا برای تکمیل درجه کارشناسی ارشد مهندسی مواد - خوردگی پیشنهاد می کنند.

امضا	رتبه علمی	نام و نام خانوادگی	عضو هیات داوران
	استاد	دکتر تقی شهرای فراهانی	استاد راهنمای
	استادیار	دکتر جابر نشاطی	استاد مشاور
	استادیار	دکتر محمود علی اف حضرابی	استاد ناظر
	استادیار	دکتر محمد شایگانی اکمل	استاد ناظر
	استادیار	دکتر محمود علی اف حضرابی	مدیر گروه (یا نماینده گروه تخصصی)

این تایید عناوی نسخه نهایی پایان نامه / رساله موردن تایید است.

امضا ایستاد راهنمای:

۹۱/۸

آیین نامه چاپ پایان نامه (رساله) های دانشجویان دانشگاه تربیت مدرس

نظر به اینکه چاپ و انتشار پایان نامه (رساله) های تحصیلی دانشجویان دانشگاه تربیت مدرس، مبین بخشی از فعالیتهای علمی پژوهشی دانشگاه است بنابراین به منظور آگاهی و رعایت حقوق دانشگاه، دانش آموختگان این دانشگاه نسبت به رعایت موارد ذیل متعهد می شوند:

ماده ۱: در صورت اقدام به چاپ پایان نامه (رساله)ی خود، مراتب را قبلاً به طور کتبی به «دفتر نشر آثار علمی» دانشگاه اطلاع دهد.

ماده ۲: در صفحه سوم کتاب (پس از برگ شناسنامه) عبارت ذیل را چاپ کند:
«کتاب حاضر، حاصل پایان نامه کارشناسی ارشد نگارنده در رشته مهندسی مواد – خوردگی و حفاظت از فلزات است که در سال ۱۳۹۱ در دانشکده فنی مهندسی دانشگاه تربیت مدرس به راهنمایی جانب آقای دکتر تقی شهرابی فراهانی، مشاوره جانب آقای دکتر جبر نشاطی از آن دفاع شده است.»

ماده ۳: به منظور جبران بخشی از هزینه های انتشارات دانشگاه، تعداد یک درصد شمارگان کتاب (در هر نوبت چاپ) را به «دفتر نشر آثار علمی» دانشگاه اهدا کند. دانشگاه می تواند مازاد نیاز خود را به نفع مرکز نشر درعرض فروش قرار دهد.

ماده ۴: در صورت عدم رعایت ماده ۳، ۰.۵٪ بهای شمارگان چاپ شده را به عنوان خسارت به دانشگاه تربیت مدرس، تأديه کند.

ماده ۵: دانشجو تعهد و قبول می کند در صورت خودداری از پرداخت بهای خسارت، دانشگاه می تواند خسارت مذکور را از طریق مراجعة قضایی مطالبه و وصول کند؛ به علاوه به دانشگاه حق می دهد به منظور استیفاده حقوق خود، از طریق دادگاه، معادل وجه مذکور در ماده ۴ را از محل توقیف کتابهای عرضه شده نگارنده برای فروش، تأمین نماید.

ماده ۶: اینجانب احمد کنار دانشجوی رشته مهندسی مواد – خوردگی و حفاظت از فلزات مقطع کارشناسی ارشد

تعهد فوق وضمانت اجرایی آن را قبول کرده، به آن ملتزم می شوم.

نام و نام خانوادگی: احمد کنار

تاریخ و امضا: ۱۳۹۱/۸/۲۲

آیین‌نامه حق مالکیت مادی و معنوی در مورد نتایج پژوهش‌های علمی دانشگاه تربیت مدرس

مقدمه: با عنایت به سیاست‌های پژوهشی و فناوری دانشگاه در راستای تحقق عدالت و کرامت انسانها که لازمه شکوفایی علمی و فنی است و رعایت حقوق مادی و معنوی دانشگاه و پژوهشگران، لازم است اعضای هیأت علمی، دانشجویان، دانشآموختگان و دیگر همکاران طرح، در مورد نتایج پژوهش‌های علمی که تحت عنوانین پایان‌نامه، رساله و طرحهای تحقیقاتی با هماهنگی دانشگاه انجام شده است، موارد زیر را رعایت نمایند:

ماده ۱- حق نشر و تکثیر پایان‌نامه/ رساله و درآمدهای حاصل از آنها متعلق به دانشگاه می‌باشد ولی حقوق معنوی پدید آورندگان محفوظ خواهد بود.

ماده ۲- انتشار مقاله یا مقالات مستخرج از پایان‌نامه/ رساله به صورت چاپ در نشریات علمی و یا ارائه در مجتمع علمی باید به نام دانشگاه بوده و با تایید استاد راهنمای اصلی، یکی از اساتید راهنما، مشاور و یا دانشجو مسئول مکاتبات مقاله باشد. ولی مسئولیت علمی مقاله مستخرج از پایان‌نامه و رساله به عهده اساتید راهنما و دانشجو می‌باشد.

تبصره: در مقالاتی که پس از دانشآموختگی بصورت ترکیبی از اطلاعات جدید و نتایج حاصل از پایان‌نامه/ رساله نیز منتشر می‌شود نیز باید نام دانشگاه درج شود.

ماده ۳- انتشار کتاب، نرم افزار و یا آثار ویژه (اثری هنری مانند فیلم، عکس، نقاشی و نمایشنامه) حاصل از نتایج پایان‌نامه/ رساله و تمامی طرحهای تحقیقاتی کلیه واحدهای دانشگاه اعم از دانشکده‌ها، مرکز تحقیقاتی، پژوهشکده‌ها، پارک علم و فناوری و دیگر واحدها باید با مجوز کتبی صادره از معاونت پژوهش دانشگاه و براساس آئین نامه‌های مصوب انجام شود.

ماده ۴- ثبت اختراع و تدوین دانش نفی و یا ارائه یافته‌ها در جشنواره‌های ملی، منطقه‌ای و بین‌المللی که حاصل نتایج مستخرج از پایان‌نامه/ رساله و تمامی طرحهای تحقیقاتی دانشگاه باید با هماهنگی استاد راهنما یا مجری طرح از طریق معاونت پژوهشی دانشگاه انجام گیرد.

ماده ۵- این آیین‌نامه در ۵ ماده و یک تبصره در تاریخ ۱۴/۴/۸۷ در شورای پژوهشی و در تاریخ ۲۲/۴/۸۷ در هیأت رئیسه دانشگاه به تأیید رسید و در جلسه مورخ ۱۵/۷/۸۷ شورای دانشگاه به تصویب رسیده و از تاریخ تصویب در شورای دانشگاه لازماً اجرا است.

«اینجانب.....دانشگری رشته.....وروی سال تحصیلیمقطعدانشکدهمعهد می‌شونم کلیه نکات مندرج در آئین نامه حق مالکیت مادی و معنوی در مورد نتایج پژوهش‌های علمی دانشگاه تربیت مدرس را در انتشار یافته‌های علمی مستخرج از پایان‌نامه / رساله تحصیلی خود رعایت نمایم. در صورت تخلف از مفاد آئین نامه فوق الاشعار به دانشگاه وکالت و نمایندگی می‌دهم که از طرف اینجانب نسبت به لغو امتیاز اختراع بنام بنده و یا هر گونه امتیاز دیگر و تغییر آن به نام دانشگاه اقدام نمایم. ضمناً نسبت به جبران فوری ضرر و زیان حاصله بر اساس برآورد دانشگاه اقدام خواهم نمود و بدینوسیله حق هر گونه اختراض را از خود سلب نمودم»

.....امضا:

.....تاریخ:



دانشگاه تربیت مدرس

دانشکده فنی مهندسی

پایان نامه برای دریافت درجه کارشناسی ارشد در رشته مهندسی مواد

گرایش خوردگی و حفاظت از مواد

بررسی خوردگی تنشی فولاد خط لوله در محیط کربنات-بی کربنات

با pH خنثی با تکنیک نویز الکتروشیمیایی

نگارش:

احمد کنار

استاد راهنما:

دکتر تقی شهرابی فراهانی

استاد مشاور:

دکتر جابر نشاطی

آبان ۱۳۹۱

این پایان نامه با حیات و پژوهیانی

شرکت ملی گاز ایران اجرا شده است

تعدادیم به:

م در و م ا د ر م

۴

که بودشان تلخ افتخاری است بر سرم و ناشان دلیلی است بر بودنم، پر آنکه

این دو وجود، پس از پروردگار، ملیه هستی ام بوده اند و ستم را کفر قند و راه رفتن

در این ولایتندگی پر از فراز و نیش ب را آموختند.

تقدیر و تشکر

سپاس خداوند متعال را که در تمام لحظه‌های زندگی همراهیم می‌کند.

صمیمانه از زحمت‌های بی‌دریغ و راهنمایی‌های دلسوزانه استاد ارجمند آقای دکتر تقی شهرابی فراهانی که در طول انجام این پژوهش خالصانه در پیشرفت علمی اینجانب سعی و تلاش نمودند، نهایت تشکر و قدردانی را نمایم.

همچنین از جناب آقای دکتر جابر نشاطی که مشاوره این پایان‌نامه را بر عهده داشته و در طول انجام این پژوهش از هیچ کمکی دریغ ننمودند، سپاسگزاری می‌نمایم.

از جناب آقای مهندس پوراعظمی که سمت مشاور صنعتی این پژوهش را بر عهده داشتند و تجربیات کاری خود را در اختیار بندۀ قرار دادند، قدردانی می‌کنم.

بر خود لازم می‌دانم از زحمات و تلاش‌های آقای مهندس علی اکبر اسکویی که در تمام طول انجام این پایان‌نامه همراهی و مساعدت نموده و تجربیات خود را در اختیار بندۀ قرار دادند، صمیمانه قدرانی نمایم.

در پایان جا دارد از همه دوستانم در آزمایشگاه خوردگی که در طول انجام پروژه همراه و یاور بودند، آفایان مهندس مرتضی فرخی و هادی نصیری وطن و خانم‌های مهندس سپیده معمارباشی و سعیده کوچه لقمانی تشکر کنم.

چکیده:

در این پژوهش خوردگی تنشی فولاد خط لوله X70 در محیط با pH نزدیک به خنثی بوسیله تکنیک نویز الکتروشیمیایی مورد بررسی قرار گرفته است. جهت شبیه‌سازی محیط با pH نزدیک به خنثی از محلول NS4 استفاده شد. در قسمت اول پارامترهای موثر بر رفتار خوردگی تنشی فولاد خط لوله X70 از جمله سه عامل دما، پتانسیل اعمالی و پوشش اعمالی با انجام آزمون‌های کشش با نرخ کرنش آهسته در محیط با pH نزدیک به خنثی بررسی شدند. مشخص شد که با افزایش دما و افزایش پتانسیل اعمالی رفتار فولاد خط لوله X70 تردتر می‌شود. اعمال پتانسیل نسبت به دما اثر قابل توجهی در افزایش تردی دارد و همچنین بعد از پتانسیل اعمالی ۹۰۰-افزایش پتانسیل تأثیر چندانی روی حساسیت به خوردگی تنشی فولاد ندارد. در قسمت دوم داده‌های بدست آمده از آزمون نویز الکتروشیمیایی در حین آزمون کشش با نرخ کرنش آهسته با دو روش بررسی آماری و بررسی در دامنه فرکانس تحلیل شدند. در تحلیل آماری چندین پارامتر بررسی شدند و مشخص شد پارامترهایی مانند کورتوزیس پتانسیل، شاخص حفره‌دارشدن و مقاومت نویز در زمان‌های نزدیک به شکست افزایش قابل توجهی پیدا می‌کنند که در تشخیص خوردگی تنشی میتوان از آن استفاده کرد. در تحلیل داده‌های نویز الکتروشیمیایی در دامنه فرکانس نیز از دو روش تبدیل فوریه سریع و ماکسیمم آنتروپی جهت رسم منحنی‌های دانسیته توان طیفی استفاده شد. نتایج بدست آمده نشان داده شکل کلی منحنی‌های دانسیته توان طیفی در طول آزمون کشش با نرخ کرنش آهسته تغییر کرده و ناحیه مستق از فرکانس‌های پایین گسترش یافته و همچنین مقادیر دانسیته توان طیفی در همه فرکانس‌ها افزایش یافته است. نتایج بدست آمده نشان داد که تکنیک نویز الکتروشیمیایی یک روش مناسب برای پایش خوردگی تنشی است.

کلمات کلیدی: خوردگی تنشی pH خنثی، فولاد خط لوله X70، تکنیک نویز الکتروشیمیایی

فهرست مطالب

۱	فصل ۱: مقدمه
۲	۱-۱- مقدمه
۴	۱-۲- طرح کلی پایان نامه
۶	فصل ۲: مروری بر منابع مطالعاتی
۷	۲-۱- خوردگی تنشی
۷	۲-۱-۱- مقدمه
۷	۲-۱-۲- تاریخچه و اهمیت خوردگی تنشی
۸	۲-۱-۳- ویژگیهای دو نوع خوردگی تنشی خط لوله
۱۰	۲-۱-۴- شرایط محیطی موثر بر خوردگی تنشی
۱۴	۲-۱-۵- شرایط متالورژیکی موثر بر خوردگی تنشی
۱۶	۲-۱-۶- شرایط مکانیکی موثر بر خوردگی تنشی
۱۷	۲-۱-۷- مکانیزم خوردگی تنشی
۲۰	۲-۱-۸- روش‌های جلوگیری از خوردگی تنشی
۲۱	۲-۲- تکنیک نویز الکتروشیمیایی
۲۱	۲-۲-۱- تعریف نویز الکتروشیمیایی
۲۲	۲-۲-۲- مزیت‌های تکنیک نویز الکتروشیمیایی نسبت به سایر روش‌ها
۲۲	۲-۲-۳- انواع نویز الکتروشیمیایی
۲۳	۲-۲-۴- پروسه‌های تولید کننده نویز در سیستم‌های الکتروشیمیایی
۲۴	۲-۲-۵- منابع ایجاد کننده نویز الکتروشیمیایی در سیستم‌های خوردگی
۲۶	۲-۲-۶- مطالعات نویز الکتروشیمیایی در زمینه‌های مختلف خوردگی

۲۸	۲-۳-۱- روش‌های تحلیل داده‌های تکنیک نویز الکتروشیمیایی
۲۸	۲-۳-۱-۱- بررسی منحنی‌های نویز در دامنه زمان
۲۹	۲-۳-۱-۲- آنالیز آماری نویز الکتروشیمیایی
۳۴	۲-۳-۱-۳- آنالیز داده‌های نویز در دامنه فرکانس
۴۱	۲-۳-۲- اهداف

۴۲	فصل ۳: روش تحقیق
۴۳	۳-۱- مقدمه
۴۳	۳-۲- فولاد خط لوله مورد استفاده
۴۳	۳-۳- نحوه آماده سازی نمونه
۴۵	۳-۴- آزمون‌های مقدماتی انجام شده روی فولاد خط لوله مورد استفاده
۴۵	۴-۱- متالوگرافی
۴۶	۴-۲- تعیین خواص مکانیکی
۴۶	۴-۳- آزمون‌های الکتروشیمیایی
۴۷	۴-۴- دستگاه آزمون کشش با نرخ کرنش آهسته (SSRT)
۴۸	۴-۵- ساختار دستگاه آزمون کشش با نرخ کرنش آهسته
۵۰	۴-۶- نرم افزار ارتباط کاربر با دستگاه
۵۰	۴-۷- محفظه آزمون کشش با نرخ کرنش آهسته
۵۱	۴-۸- محلول آزمایش
۵۲	۴-۹- آزمون کشش با نرخ کرنش آهسته
۵۲	۴-۱۰- مقدمه
۵۲	۴-۱۱- تعریف آزمون کشش با نرخ کرنش آهسته
۵۴	۴-۱۲- تحلیل نتایج آزمون کشش با نرخ کرنش آهسته

۵۴	۳-۷-۴- پارامترهای انعطاف پذیری
۵۶	۳-۸- پارامترهای مورد بررسی در این بیوهوش
۵۶	۳-۱- بررسی اثر دمای محلول بر رفتار خوردگی تنشی فولاد X70
۵۶	۳-۲- بررسی اثر پتانسیل کاتدی بر رفتار خوردگی تنشی فولاد X70
۵۷	۳-۳- بررسی اثر پوشش فولاد خط لوله بر رفتار خوردگی تنشی فولاد X70
۵۸	۳-۴- اندازه‌گیری نویز الکتروشیمیایی در حین آزمون کشش با نرخ کرنش آهسته
۵۹	۳-۱۰- مشاهدات ریز ساختاری و بررسی مقطع شکست
۵۹	۳-۱۱- بررسی خواص فولاد خط لوله X70
۵۹	۳-۱۱-۱- بررسی ریز ساختار فولاد خط لوله X70
۶۰	۳-۱۱-۲- بررسی خواص مکانیکی فولاد خط لوله X70

۶۳	فصل ۴: نتایج و بحث
۶۴	۴-۱- مقدمه
۶۴	۴-۲- بررسی رفتار خوردگی فولاد خط لوله X70 در محیط با pH نزدیک به خنثی
۶۴	۴-۲-۱- نمودار پتانسیل - زمان
۶۵	۴-۲-۲- نمودار پلاریزاسیون پتانسیو دینامیک
۶۶	۴-۳- بررسی واپستگی رفتار مکانیکی فولاد خط لوله X70 به پارامترهای موثر در آزمون خوردگی تنشی در محیط با pH نزدیک به خنثی
۶۶	۴-۳-۱- آزمون‌های انجام شده
۶۸	۴-۳-۲- بررسی اثر دما بر رفتار مکانیکی فولاد خط لوله X70 در آزمون خوردگی تنشی در محیط با pH نزدیک به خنثی
۷۵	۴-۳-۳- بررسی اثر اعمال پتانسیل کاتدی بر رفتار مکانیکی فولاد خط لوله X70 در آزمون خوردگی تنشی در محیط با pH نزدیک به خنثی

۴-۳-۴- بررسی اثر عیوب پوشش خط لوله بر رفتار مکانیکی فولاد خط لوله X70 در آزمون خوردگی تنشی در محیط با pH نزدیک به خنثی.....	۸۶
۴-۴- بررسی خوردگی تنشی فولاد خط لوله X70 با تکنیک نویز الکتروشیمیایی	۸۸
۴-۴-۱- بررسی آماری تکنیک نویز الکتروشیمیایی.....	۸۹
۴-۴-۲- بررسی نویز الکتروشیمیایی در حوزه فرکانس	۹۷
	۱۰۵
۵-۱- نتیجه‌گیری	۱۰۶
۵-۲- بیشنهادات	۱۰۷

فهرست جداول

جدول (۱-۲) مقایسه بین خوردگی تنشی PH بالا و خوردگی تنشی PH نزدیک به خنثی ۹
جدول (۲-۲) تعیین مکانیزم خوردگی از روی مقادیر اسکیونس داده‌های جریان و پتانسیل ۲۳
جدول (۳-۲) تعیین مکانیزم خوردگی از روی مقادیر کورتوزیس داده‌های جریان و پتانسیل ۲۳
جدول (۴-۲) تعیین مکانیزم خوردگی از روی مقادیر ضربیت تراکم ۲۴
جدول (۱-۳) آنالیز عنصری فولاد خط لوله مورد استفاده در پژوهش ۴۲
جدول (۲-۳) ابعاد نمونه‌های آزمون کشش با نرخ کرنش آهسته ۴۵
جدول (۳-۳) مشخصات دستگاه آزمون کشش با نرخ کرنش آهسته ۴۹
جدول (۴-۳) ترکیب شیمیایی محلول NS4 برای شبیه سازی محیط با PH نزدیک به خنثی بر حسب گرم بر لیتر ۵۲
جدول (۵-۳) خواص مکانیکی فولاد خط لوله X70 بدست آمده با آزمون کشش با نرخ کرنش آهسته با نرخ کرنش ۶۰
جدول (۱-۴) اطلاعات بدست آمده از آزمون پلاریزاسیون پتانسیو دینامیک ۶۶
جدول (۲-۴) نتایج مکانیکی حاصل از آزمون‌های خوردگی تنشی تکرار شده جهت بررسی میزان تکرارپذیری نتایج بدست آمده از آزمون‌های خوردگی تنشی ۶۷
جدول (۳-۴) مقایسه پارامترهای مکانیکی آزمون‌های کشش با نرخ کرنش آهسته فولاد خط لوله X70 کشیده شده با نرخ ۷۱
جدول (۴-۴) مقایسه نسبت‌های مکانیکی بدست آمده از آزمون‌های کشش با نرخ کرنش آهسته فولاد خط لوله X70 کشیده شده با نرخ ۷۱
جدول (۵-۴) مقایسه پارامترهای مکانیکی بدست آمده از آزمون‌های کشش با نرخ کرنش آهسته فولاد خط لوله X70 کشیده شده با نرخ ۷۱
باز خوردگی در محلول با PH نزدیک به خنثی و هوا ۸۱
جدول (۶-۴) مقایسه نسبت‌های مکانیکی بدست آمده از آزمون‌های کشش با نرخ کرنش آهسته فولاد خط لوله X70 کشیده شده با نرخ ۸۱

جدول (۷-۴) مقایسه پارامترهای مکانیکی بدست آمده از آزمون‌های کشش با نرخ کرنش آهسته فولاد خطلوله X70

کشیده شده با نرخ $10^{-6.1} \times 1/6$ در پتانسیل اعمالی ۱۲۰۰ - میلیولت و دمای ۵۰ درجه در محلول با PH

نزدیک به خنثی برای نمونه دارای پوشش و نمونه بدون پوشش و هوا ۸۶

جدول (۸-۴) مقایسه نسبت پارامترهای مکانیکی بدست آمده از آزمون‌های کشش با نرخ کرنش آهسته فولاد خطلوله X70

کشیده شده با نرخ $10^{-6.1} \times 1/6$ در پتانسیل اعمالی ۱۲۰۰ - میلیولت و دمای ۵۰ درجه در محلول با

PH نزدیک به خنثی برای نمونه دارای پوشش و نمونه بدون پوشش ۸۷

فهرست شکل‌ها

- شکل (۱-۲) نمودار PH - پتانسیل نتایج حاصل از آزمون‌های کشش با نرخ کرنش آهسته انجام شده روی پک فولاد کم کربن در محلول‌هایی با مقادیر مختلف کربنات، بی‌کربنات و دی‌اکسید کربن نشان‌دهنده مناطق و شرایط مناسب برای وقوع خوردگی تنشی PH بالا و خوردگی تنشی PH نزدیک به خنثی در دمای ۲۴ درجه ۱۱.....
- شکل (۲-۲) منحنی پلاریزاسیون با نرخ روبش آرام و سریع در محلول با PH نزدیک به خنثی (۵/۸) برای خط لوله فولادی در دمای ۲۴ درجه سانتیگراد..... ۱۲.....
- شکل (۳-۲) منحنی پلاریزاسیون پتانسیو دینامیک محلول کربنات - بی‌کربنات با نرخ روبش آرام و سریع برای خط لوله فولادی در دمای ۹ درجه سانتیگراد، نشان‌دهنده محدوده مناسب برای خوردگی تنشی PH بالا ۱۳.....
- شکل (۴-۲) ترک‌های خوردگی تنشی در امتداد خط لوله ۱۵.....
- شکل (۵-۲) مقایسه منحنی تنش کرنش فولاد با تنش یکنواخت و تنش سیکلی ۱۷.....
- شکل (۶-۲) مدل نفوذ هیدروژن در نوک ترک نمونه فولادی تحت تنش در محلول با PH نزدیک به خنثی ۲۰.....
- شکل (۷-۲) دیاگرام شماتیک اندازه‌گیری همزمان پتانسیل و جریان با روش سه الکترودی ۲۲.....
- شکل (۸-۲) دیاگرام شماتیک تغییرات پتانسیل در حین خوردگی حفره‌دار شدن ۲۹.....
- شکل (۹-۲) ارتباط میان توزیع داده‌های آماری حول مقدار متوسط و مقادیر پارامتر اسکیوینس ۳۲.....
- شکل (۱۰-۲) مقایسه منحنی‌های دانسیته توان طیفی محاسبه شده با تبدیل فوریه سریع و ماکسیمم آنتروپی ۳۷.....
- شکل (۱۱-۲) ارتباط میان شیب منحنی‌های دانسیته توان طیفی و مکانیزم‌های مختلف خوردگی برای نویز پتانسیل در شکل بالا و نویز جریان در شکل پایین . عدد ۱ نشانگر خوردگی یکنواخت، عدد ۲ نشانگر خوردگی حفره‌دار شدن، عدد ۳ نشانگر خوردگی شیاری و عدد ۴ نشانگر ترکیب خوردگی شیاری و خوردگی حفره‌دار شدن است ۳۸.....
- شکل (۱۲-۲) اثر نرخ وقایع روبداد روی منحنی‌های نویز - زمان شکل بالا و منحنی‌های دانسیته توان طیفی شکل پایین در دو نرخ ۱ و ۱۰۰ روبداد بر ثانیه ۳۹.....
- شکل (۱۳-۲) اثر شکل و شیب افت مقادیر پتانسیل یا جریان در منحنی‌های نویز - زمان بر شکل و شیب منحنی‌های دانسیته توان طیفی در شکل بالا و مقایسه منحنی‌های دانسیته توان طیفی در دو حالت تئوریک T و شبیه سازی شده S در شکل پایین ۴۰.....
- شکل (۱-۳) جهت نمونه‌های تهیه شده برای آزمون کشش با نرخ کرنش آهسته از خط لوله ۴۴.....
- شکل (۲-۳) شکل شماتیک نمونه‌های آزمون کشش با نرخ کرنش آهسته ۴۴.....
- شکل (۳-۳) سل مورد استفاده جهت بررسی رفتار خوردگی فولاد خط لوله در محیط با PH نزدیک به خنثی ۴۷.....
- شکل (۴-۳) تصویری از دستگاه آزمون خوردگی تنشی با روش کشش با نرخ کرنش آهسته ۴۸.....
- شکل (۵-۳) تصویر سل ساخته شده جهت انجام آزمون کشش با نرخ کرنش آهسته ۵۱.....
- شکل (۶-۳) نمایی از روش به کار رفته جهت اعمال پتانسیل کاتدی در حین آزمون SSRT ۵۷.....
- شکل (۷-۳) پوشش پلی اتیلن سه لایه روی نمونه آزمون کشش با نرخ کرنش آهسته ۵۸.....

- شکل (۸-۳) تصویر میکروسکوپ نوری ریز ساختار فولاد خط لوله X70 اج شده با محلول ۲٪ نایتال استفاده شده در آزمون های خوردگی تنشی در محیط با PH نزدیک به خنثی ۶۰
- شکل (۹-۳) منحنی نیرو - زمان فولاد خط لوله X70 بدست آمده با آزمون کشش با نرخ کرنش آهسته با نرخ کرنش 10^{-6}S^1 در هوا ۶۱
- شکل (۱۰-۳) منحنی تنش - کرنش فولاد خط لوله X70 کشیده شده با نرخ کرنش 10^{-6}S^1 در هوا ۶۱
- شکل (۱۱-۳) خلاصه ای از کارهای انجام شده در پژوهش ۶۲
- شکل (۱-۴) نمودار پتانسیل - زمان فولاد خط لوله X70 در محلول با PH نزدیک به خنثی در دمای محیط ۶۵
- شکل (۲-۴) نمودار پلاریزاسیون دینامیکی فولاد خط لوله X70 در محیط با PH نزدیک به خنثی در دمای محیط با سرعت روبش 2 MV/SEC ۶۵
- شکل (۳-۴) منحنی تنش - کرنش فولاد خط لوله X70 کشیده شده با نرخ کرنش 10^{-6}S^1 در محیط با PH نزدیک به خنثی در دماهای ۲۵، ۳۰ و ۳۵ درجه سانتیگراد و هوا ۶۹
- شکل (۴-۴) منحنی نیرو - زمان بزرگنمایی شده در ناحیه پلاستیک فولاد خط لوله X70 کشیده شده با نرخ کرنش 10^{-6}S^1 در محیط با PH نزدیک به خنثی در دماهای ۲۵ و ۳۰ درجه سانتیگراد و هوا ۶۹
- شکل (۵-۴) نمودار گرافیکی روند تغییرات زمان شکست و تغییرات طول نمونه ها با افزایش دما در آزمون های خوردگی تنشی در محیط با PH خنثی با نرخ کرنش 10^{-6}S^1 ۷۰
- شکل (۶-۴) نمودار نرخ رشد ترک و طول ترک نسبت به ضخامت جداره بر حسب زمان در سه دمای متفاوت در شرایط K_{1SCC}=12.5 و تنش خارجی برابر با MPA ۷۲
- شکل (۷-۴) تصویر میکروسکوپ نوری از ترکهای جانبی فولاد خط لوله X70 در دمای ۳۰ درجه سانتیگراد در محیط با PH نزدیک به خنثی در بزرگنمایی ۵۰ برابر با طول ترک ۳۰ میکرومتر ۷۴
- شکل (۸-۴) تصویر میکروسکوپ نوری از ترکهای جانبی فولاد خط لوله X70 در دمای ۳۰ درجه سانتیگراد در محیط با PH نزدیک به خنثی در بزرگنمایی ۵۰ برابر با طول ترک ۱۵ میکرومتر ۷۴
- شکل (۹-۴) تصاویر میکروسکوپ استریوگرام از سطح شکست فولاد خط لوله X70 پس از شکست در آزمون کشش با نرخ کرنش آهسته در محیط با PH نزدیک به خنثی در دمای ۳۰ درجه (شکل سمت راست) و در هوا (شکل سمت چپ) در بزرگنمایی ۱/۵ برابر ۷۵
- شکل (۱۰-۴) منحنی تنش - کرنش فولاد خط لوله X70 کشیده شده با نرخ کرنش 10^{-6}S^1 در محیط با PH نزدیک به خنثی در پتانسیل مدار باز خوردگی و پتانسیلهای ۹۰۰، ۱۰۰۰ و ۱۲۰۰ میلی ولت و هوا در دمای ۳۰ درجه سانتیگراد ۷۷
- شکل (۱۱-۴) منحنی نیرو - زمان فولاد خط لوله X70 کشیده شده با نرخ کرنش 10^{-6}S^1 در محیط با PH نزدیک به خنثی در پتانسیل مدار باز خوردگی و پتانسیلهای ۹۰۰، ۱۰۰۰ و ۱۲۰۰ میلی ولت و هوا در دمای ۳۰ درجه سانتیگراد ۷۷
- شکل (۱۲-۴) رابطه بین دانسیته جریان نفوذ هیدروژن و دانسیته جریان پلاریزاسیون کاتدی ۸۰

- شکل (۱۳-۴) نمودار گرافیکی روند تغییرات زمان شکست و تغییرات طول نمونه‌ها با افزایش دما در آزمون‌های خوردگی
تنشی در محیط با PH خنثی با نرخ کرنش $^{1-9} \times 10^{-5}$ ۸۲
- شکل (۱۴-۴) تصویر میکروسکوپ نوری از سطح شکست فولاد خط لوله X70 در پتانسیل اعمالی ۱۲۰۰ - میلیولت (۹۰۰- میلیولت)
شکل سمت راست) و پتانسیل اعمالی در دمای ۵۰ درجه سانتیگراد در
محیط با PH نزدیک به خنثی در بزرگنمایی ۵ برابر ۸۳
- شکل (۱۵-۴) تصویر میکروسکوپ نوری از ترکهای جانبی فولاد خط لوله X70 در پتانسیل اعمالی ۱۰۰۰ - میلیولت در
دمای ۵۰ درجه سانتیگراد در محیط با PH نزدیک به خنثی در بزرگنمایی ۱۰۰۰ ۱ برابر با طول ترک
میکرومتر ۸۴
- شکل (۱۶-۴) تصویر میکروسکوپ نوری از ترکهای فولاد خط لوله X70 در پتانسیل ۱۲۰۰ - میلیولت در دمای ۵۰
درجه در محیط با PH نزدیک به خنثی در بزرگنمایی ۵۰ برابر با طول ترک ۸۶ میکرومتر ۸۴
- شکل (۱۷-۴) تصویر میکروسکوپ الکترونی روبشی مقطع شکست فولاد خط لوله X70 پس از آزمون کشش با نرخ کرنش
آهسته در پتانسیل ۱۲۰۰ - MV ۸۵
- شکل (۱۸-۴) تصویر میکروسکوپ الکترونی روبشی مقطع شکست فولاد خط لوله X70 پس از آزمون کشش با نرخ کرنش
آهسته در پتانسیل مدار باز خوردگی و دمای ۵۰ درجه در محیط با PH نزدیک به خنثی ۸۵
- شکل (۱۹-۴) منحنی تنش - کرنش فولاد خط لوله X70 کشیده شده با نرخ کرنش $^{1-9} \times 10^{-5}$ در محیط با PH
نزدیک به خنثی در پتانسیل اعمالی ۱۲۰۰ - میلیولت در دمای ۵۰ درجه سانتیگراد در حالت دارای پوشش
پلی اتیلن سه لایه و بدون پوشش و همچنین در هوا ۸۷
- شکل (۲۰-۴) تصویر میکروسکوپ نوری از ترکهای جانبی فولاد خط لوله X70 نمونه دارای پوشش پلی اتیلن سه لایه
در دمای ۵۰ درجه سانتیگراد و پتانسیل اعمالی ۱۲۰۰ - میلیولت در محیط با PH نزدیک به خنثی در
بزرگنمایی ۱۰۰۰ برابر ۸۸
- شکل (۲۱-۴) نمودار تغییرات پتانسیل بر حسب زمان در حین آزمون کشش با نرخ کرنش آهسته در محیط با PH نزدیک
به خنثی در سه دمای ۲۵، ۵۰ و ۷۰ درجه سانتیگراد ۹۰
- شکل (۲۲-۴) نمودار تغییرات جریان بر حسب زمان در حین آزمون کشش با نرخ کرنش آهسته در محیط با PH نزدیک
به خنثی در سه دمای ۲۵، ۵۰ و ۷۰ درجه سانتیگراد ۹۰
- شکل (۲۳-۴) نمودار تغییرات انحراف استاندارد پتانسیل بر حسب زمان در حین آزمون کشش با نرخ کرنش آهسته در
محیط با PH نزدیک به خنثی در دمای ۲۵ و ۷۰ درجه سانتیگراد ۹۱
- شکل (۲۴-۴) نمودار تغییرات کورتوزیس پتانسیل بر حسب زمان در آزمون کشش با نرخ کرنش آهسته در محیط با PH
نزدیک به خنثی در دمای ۲۵ و ۵۰ درجه سانتیگراد ۹۲
- شکل (۲۵-۴) نمودار تغییرات کورتوزیس جریان بر حسب زمان در آزمون کشش با نرخ کرنش آهسته در محیط با PH
نزدیک به خنثی در دمای ۲۵ و ۵۰ درجه سانتیگراد ۹۴
- شکل (۲۶-۴) نمودار تغییرات اسکیویونس پتانسیل بر حسب زمان در آزمون کشش با نرخ کرنش آهسته در محیط با pH
نزدیک به خنثی در دمای ۲۵ و ۵۰ درجه سانتیگراد ۹۵

شکل (۲۷-۴) نمودار تغییرات مقاومت نویز بر حسب زمان در آزمون کشش با نرخ کرنش آهسته در محیط با pH نزدیک به خنثی در دمای ۵۰ و ۷۰ درجه سانتیگراد ۹۵

شکل (۲۸-۴) نمودار تغییرات شاخص حفظه دار شدن و تنفس وارد بر نمونه بر حسب زمان در آزمون کشش با نرخ کرنش آهسته در دمای ۵۰ درجه سانتیگراد در محیط با pH نزدیک به خنثی ۹۷

شکل (۲۹-۴) نمودار تغییرات مقاومت طیفی نویز در فرکانس صفر بر حسب زمان در آزمون کشش با نرخ کرنش آهسته در دمای ۲۵ و ۵۰ درجه سانتیگراد در محیط با pH نزدیک به خنثی ۹۹

شکل (۳۰-۴) منحنی دانسیته توان طیفی پتانسیل بدست آمده با روش تبدیل فوریه سریع در ۲ و ۳۶ ساعت پس از شروع آزمون کشش با نرخ کرنش آهسته در محیط با pH نزدیک به خنثی در دمای ۵۰ درجه ۱۰۱

شکل (۳۱-۴) منحنی دانسیته توان طیفی پتانسیل بدست آمده با روش تبدیل فوریه سریع در ۲ و ۳۶ ساعت پس از شروع آزمون کشش با نرخ کرنش آهسته در محیط با pH نزدیک به خنثی در دمای ۵۰ درجه ۱۰۱

شکل (۳۲-۴) منحنی دانسیته توان طیفی پتانسیل بدست آمده با روش ماکسیمم آنتروپی در ۲۲ و ۳۶ ساعت پس از شروع آزمون کشش با نرخ کرنش آهسته در محیط با pH نزدیک به خنثی در دمای ۵۰ درجه سانتیگراد ۱۰۲

شکل (۳۳-۴) منحنی دانسیته توان طیفی پتانسیل بدست آمده با روش ماکسیمم آنتروپی در ۱۸ ساعت پس از شروع آزمون کشش با نرخ کرنش آهسته در محیط با pH نزدیک به خنثی در دمای ۵۰ و ۷۰ درجه ۱۰۳

شکل (۳۴-۴) مقایسه نمودارهای دانسیته توان طیفی تبدیل فوریه سریع و ماکسیمم آنتروپی از یک سری داده نویز مشابه در ۳۲ ساعت پس از شروع آزمون کشش با نرخ کرنش آهسته در دمای ۷۰ درجه ۱۰۴

فصل ١

”
مقدمة